

/

### Wear Debris Behaviour corresponding to the Contact Shape between Fuel Rod and Grid Spring

, , , ,  
 150  
 ,  
 150

가  
 가 10<sup>5</sup>  
 10, 30 N      10 ~ 100 μm  
 가      incomplete contact  
 가가  
 가

#### Abstract

Wear debris behaviours were experimentally analyzed which was affected by the contact shape between the cladding tubes and grid springs. The spring specimens of three different contact shapes were experimented in air at room temperature environment. 10 and 30 N were applied for the contact force with the slip ranges of 10 ~ 100 μm. Shape and length of wear scar on the tube specimens were examined when the reciprocating cycle reached 10<sup>5</sup>. As results, considerable increase in wear length was found corresponding to the increase of contact force and slip range in the case of incomplete contact induced by convex springs. This was explained as an abrasive wear occurring during debris dispersion. Contact shape affects debris dispersion behaviour so does abrasive wear, that is a part of fretting wear mechanism. Wear by the multi-point contact spring presently used in the experiments showed that the primary supporting location moved depending on the contact force.

1.

가

가

가

(adhesive wear)

가

가

가

[1-3].

가

가

[4].

(abrasive wear)

가

가

가

( )

가

가

( )

가

가

2.

2.1

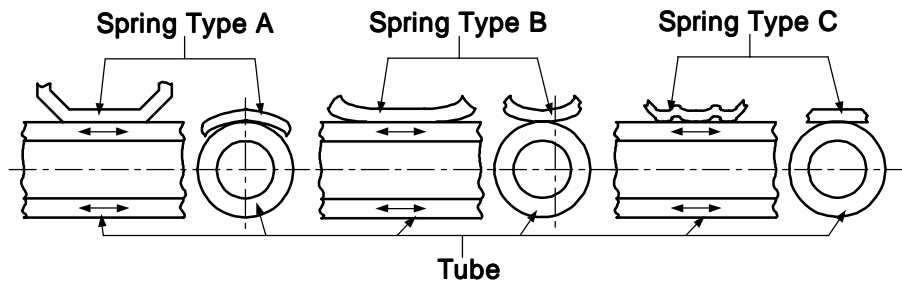
1 9.5 mm, 0.6 mm ,  
 50 mm  
 가  
 A , B C . A  
 concave , B  
 C

가

1

1.

Mechanical properties (at room temperature)						
Tensile strength	Yield strength (0.2% offset)		Elastic Modulus		Poisson's Ratio	
470 MPa	315 MPa		136.6 GPa		0.294	
Chemical composition (wt. %)						
Sn	Fe	Cr	O	C	Si	Zr
1.28	0.22	0.12	0.114	0.013	0.010	base



1.

A 가 (conformal contact)

가

(chamfering) (coining) 가 1 A 가

(scratch) 가

B 가 A C

가 A

B

C

가 가

가 A B

가

A complete

contact 가 가

4.1 ± 0.02 mm B

C incomplete contact 가 가

B C

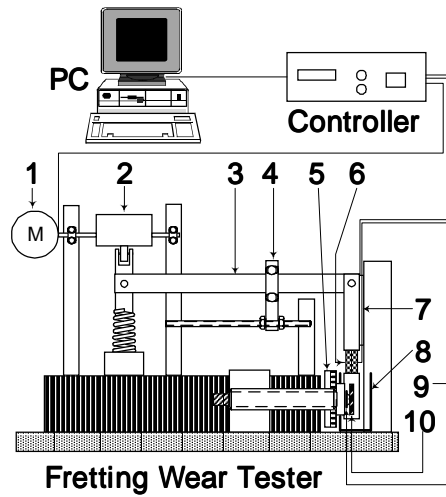
(Ra) 0.76 μm, 0.67 μm

2.2

2

/

[5]



2. ; 1: Servo-Motor, 2: Eccentric Cylinder, 3: Lever, 4: Hinge, 5: Rotating Device, 6: Biaxial Loadcell, 7: LVDT, 8: Water Tank, 9: Stationary Specimen (Spring), 10: Oscillatory Specimen (Tube).

### 2.3

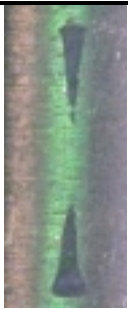
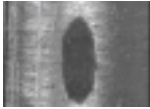
( ) 10, 30, 50, 80, 100,  $\mu\text{m}$   
 10, 30 N  
 30 Hz  
 100,000

100,000 ( , )  
 )  
 3  
 [6]

### 3.

#### 3.1

3 . 3 , A 10 N-50  $\mu\text{m}$   
 30 N-80  $\mu\text{m}$   
 (10 N 80 100  
 $\mu\text{m}$ , 30 N 100  $\mu\text{m}$ )  
 가

Type	10 N-50 $\mu\text{m}$	10 N-80 $\mu\text{m}$	30 N-80 $\mu\text{m}$	30 N-100 $\mu\text{m}$
A				
B				
C				

3. ( 2 , 가 ) .

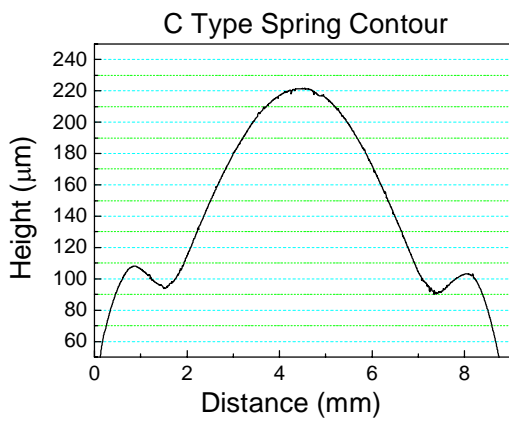
B A  
 가 가 가 가  
 incomplete contact  
 가 가  
 3.3  
 C  
 가 10 N 가  
 30 N 가  
 가  
 10 N 가  
 가 30 N 가

가 가 1

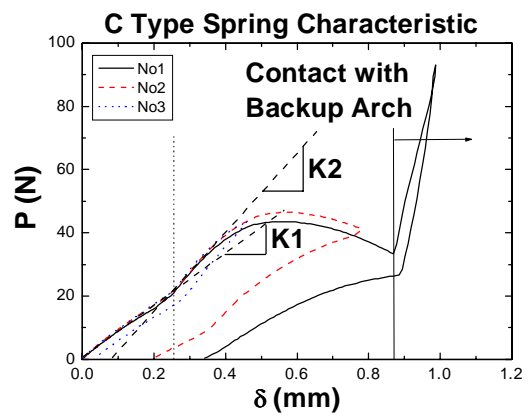
3.2 C

가 C

INSTRON 4505



4. C



5. C

4 C

5

4

0.11 mm

5

가

( 가 K1 K2 )

가 2.5 mm

0.11 mm

가

가

가

C

5

10 N

30 N

3.3

3

가

2

가

가 A B A ,  
 가 (4.1 ± 0.02 mm)  
 가 . 10 N 50 μm 80 μm 30 μm 가  
 가 가 0.03 mm 가 가 가 0.7%(= (4.24-4.21)/4.21X100)  
 , 30 N 80 μm 100 μm 20 μm 가 가 0.09 mm  
 가 가 2.1% .  
 B ( 80 μm) 가  
 10 N 30 N 가 가 2 가 .  
 incomplete contact .  
 가 가 가 가  
 , 10 N 30 μm 가가 가 1.00  
 mm 30 N 1.80 mm 가 가 가 33 ~ 60 가  
 가 가 가 가 10 N 30.7%, 30 N  
 18.7%가 가 가 가

2. ( 3 )

Condition Spring	10 N -50 μm	10 N -80 μm	30 N -80 μm	30 N -100 μm
Type A	4.21 mm	4.24 mm	4.24 mm	4.33 mm
Type B	3.26 mm	4.26 mm	9.61 mm	11.41 mm
Type C	1.27 mm	1.91 mm	0.91/1.41/0.93* mm	1.06/1.42/0.96* mm

\* 3 / /

1 A B

A 가 B  
 ) 가 가  
 가 가  
 가 가 A  
 가가  
 A  
 B

가 가 A 가 B 가  
 C B (convex) 가  
 ( )  
 가 A B C  
 가 10 N, 30 N  
 2 10 N 가 가 50  $\mu\text{m}$  80  $\mu\text{m}$   
 가 가 0.64 mm 가 가 50.4%  
 30 N 가 가 80  $\mu\text{m}$  100  $\mu\text{m}$  가  
 가 0.15 mm( 가 16.5%),  
 0.01 mm( 가 0.7%) 0.03 mm( 가 3.2%)  
 가가 0.19 mm 가 5.8%  
 가 3

3. 가 가 ( 2 )

Condition Spring	10 N; 50 $\mu\text{m}$ $\rightarrow$ 80 $\mu\text{m}$		30 N; 80 $\mu\text{m}$ $\rightarrow$ 100 $\mu\text{m}$	
	Wear Length Increase	Increase Rate	Wear Length Increase	Increase Rate
Type A	0.03 mm	0.7%	0.09 mm	2.1%
Type B	1.00 mm	30.7%	1.80 mm	18.7%
Type C	0.64 mm	50.4%	0.15/0.01/0.03* mm, Total 0.19 mm	16.5/0.7/3.2*%, Total 5.8%

\* 3 / /

3.4 C

3 가 A  
 B C  
 가 가  
 가 , 10 N B  
 C 가 30 N 가  
 C 가  
 , 10 N  
 30 N 10 N 가 가  
 ( 가 0.7% ) 가 가

6 7 30 N-80  $\mu\text{m}$  30 N-100  $\mu\text{m}$  C

가

C

가

7

가 80  $\mu\text{m}$

100  $\mu\text{m}$

가

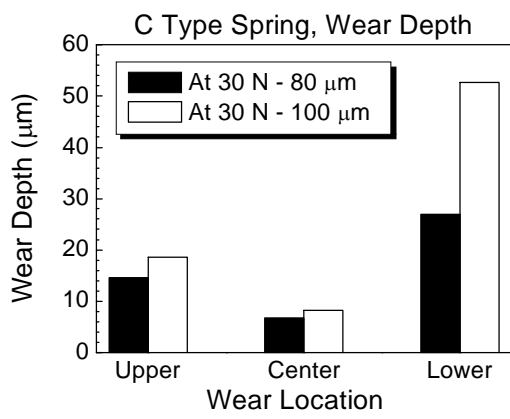
가가

[7] A B

C

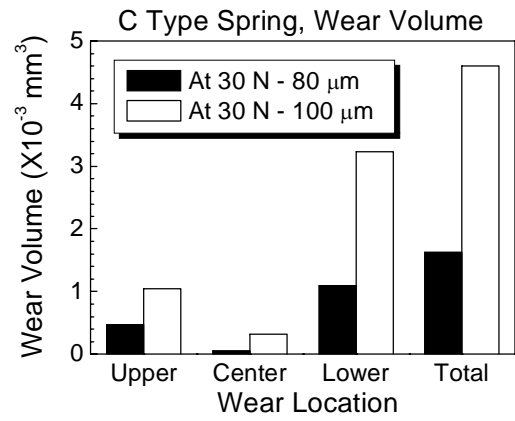
30 N

80  $\mu\text{m}$  ~ 100  $\mu\text{m}$



6. C

30 N-80  $\mu\text{m}$



7. C

30 N-80  $\mu\text{m}$

A

가

, B

C

가

B

C

가

가

4.

1)

가

가

가

가

가

가

가

가  
 2) ,  
 가  
 3) 가  
 가

1. H.-K. Kim and S.-B. Lee, *Theo. Appl. Fract. Mech.*, 36 (2001) 125-139.
2. H.-K. Kim et al., *KSTLE Int. Journal*, 3 (2002) 60-67.
3. H.-K. Kim et al., 2001 , 389-395.
4. H.-K. Kim et al., *Wear*, 250 (2001) 535-543.
5. 4 , 2000 , 59.
6. , , 17 (2001) 33-39.
7. H.-K. Kim et al., *The 6<sup>th</sup> International Tribology Conference* (2002) 725-732.